第5回

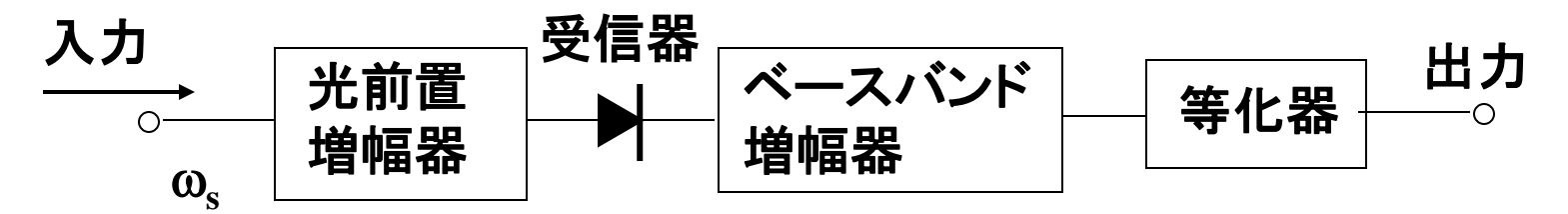
光変復調技術(3)

2013年11月5日(火)

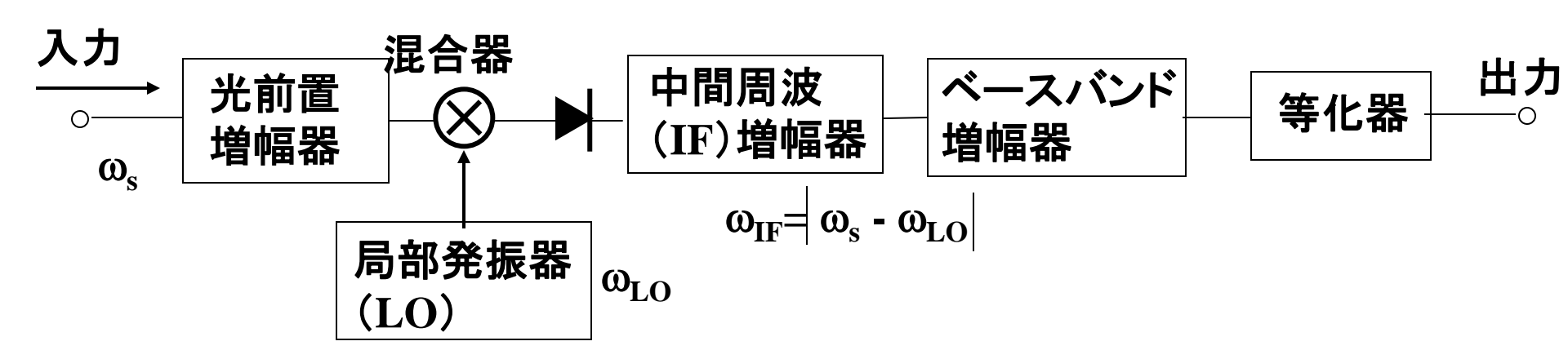
デジタル・コヒーレント受信

受信系の基本構成(1)

① 直接検波(IM-DD方式)

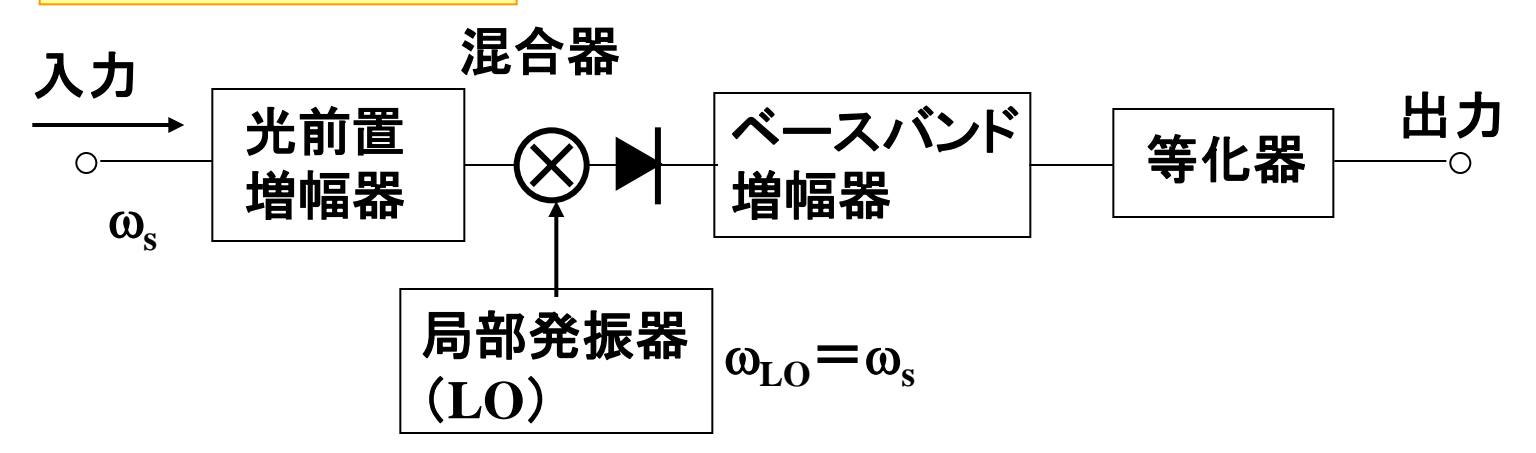


② ヘテロダイン検波



受信系の基本構成(2)

③ ホモダイン検波



デジタルコヒーレントレシーバの登場(1)

- 1980年代後半に全盛期を迎えたコヒーレント光通信の研究
 - 受信感度の改善効果 → EDFAにその座を奪われた
 - 周波数(波長)選択性 → 需要がなかった(WDMも1990年代中頃)
 - 技術的な難易度の高さ 狭スペクトル光源 偏波トラッキング 高速IF回路、光PLL

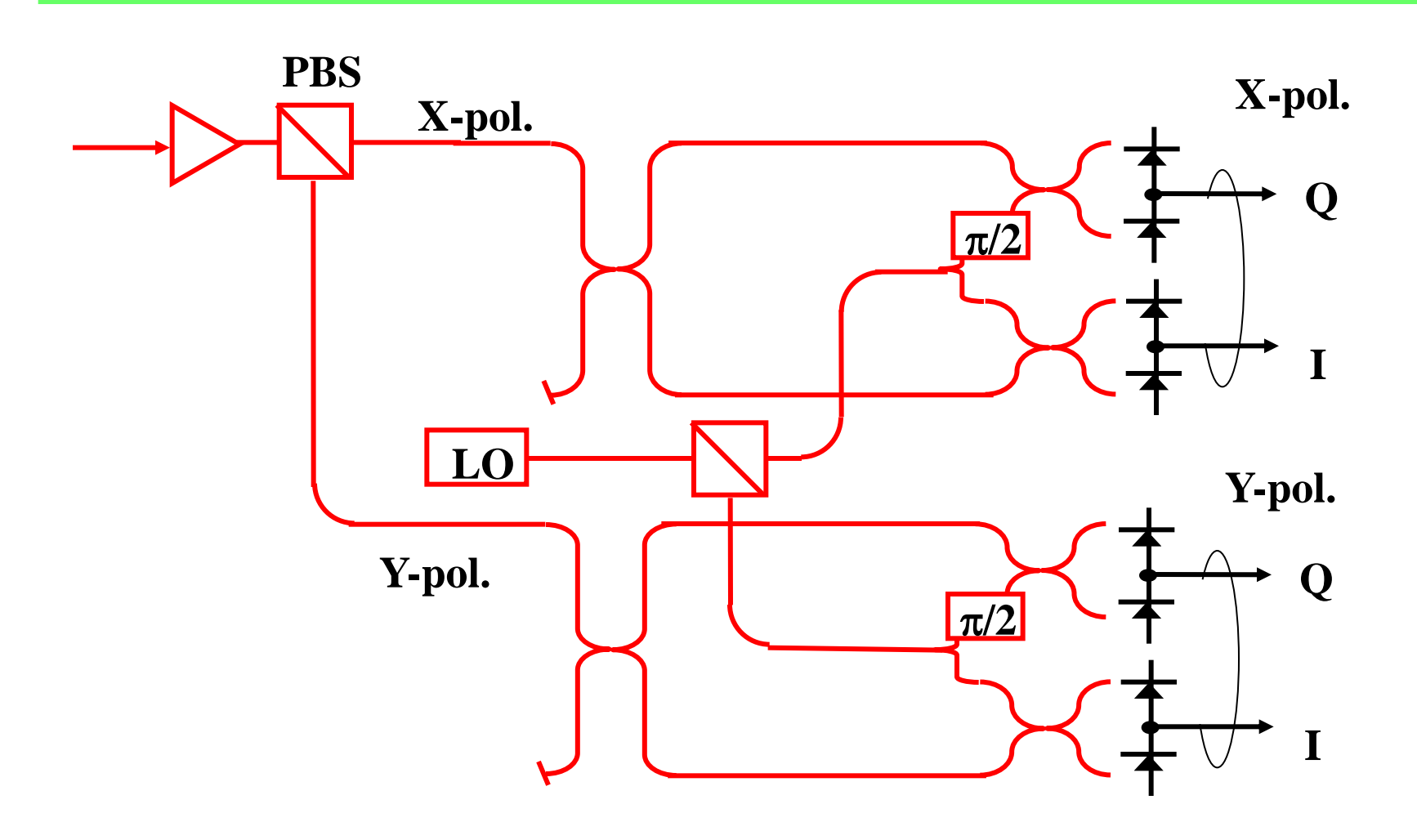
デジタルコヒーレントレシーバの登場(2)

- リバイバルしたコヒーレント光通信
 - 感度改善が目的ではない
 - 高い周波数選択性が必要になってきた
 - かつての技術的難易度が下がった

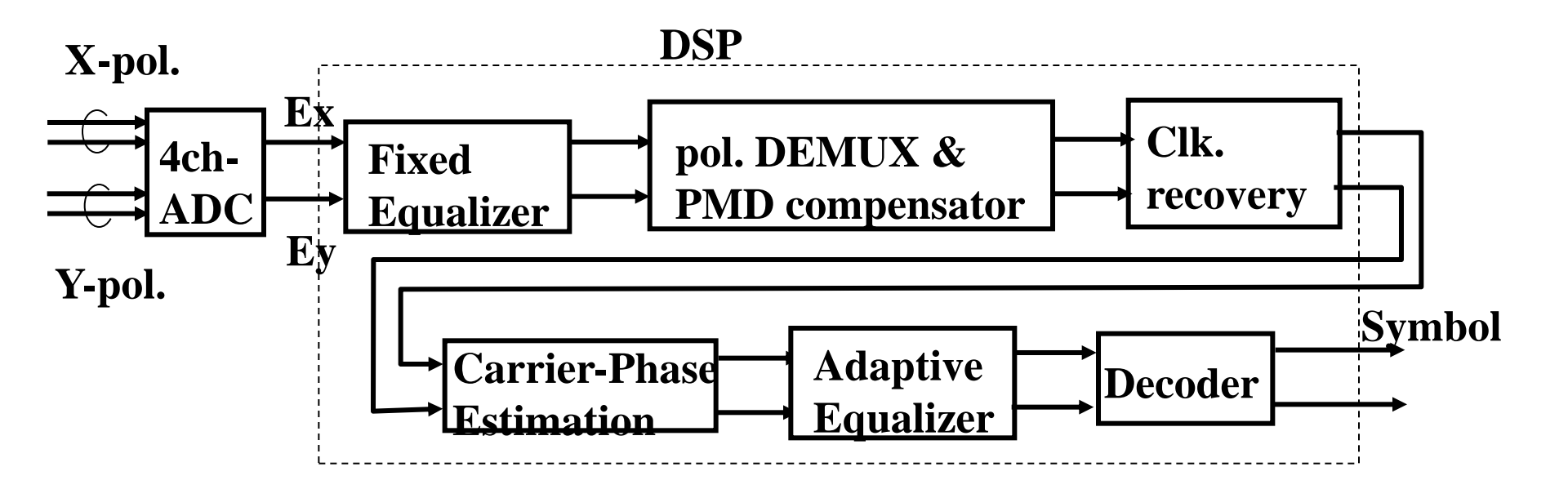
狭スペクトル光源 → 高ビットレートでスペック低下 光PLL → デジタル・コヒーレント技術により不要に

- 高ビットレート化(100Gbps)の要求が後押し
- 多値(16値以上)復調できるのは実質的にコヒーレント検波のみ

デジタルコヒーレントレシーバ回路図



デジタル・コヒーレントレシーバの機能ブロック図

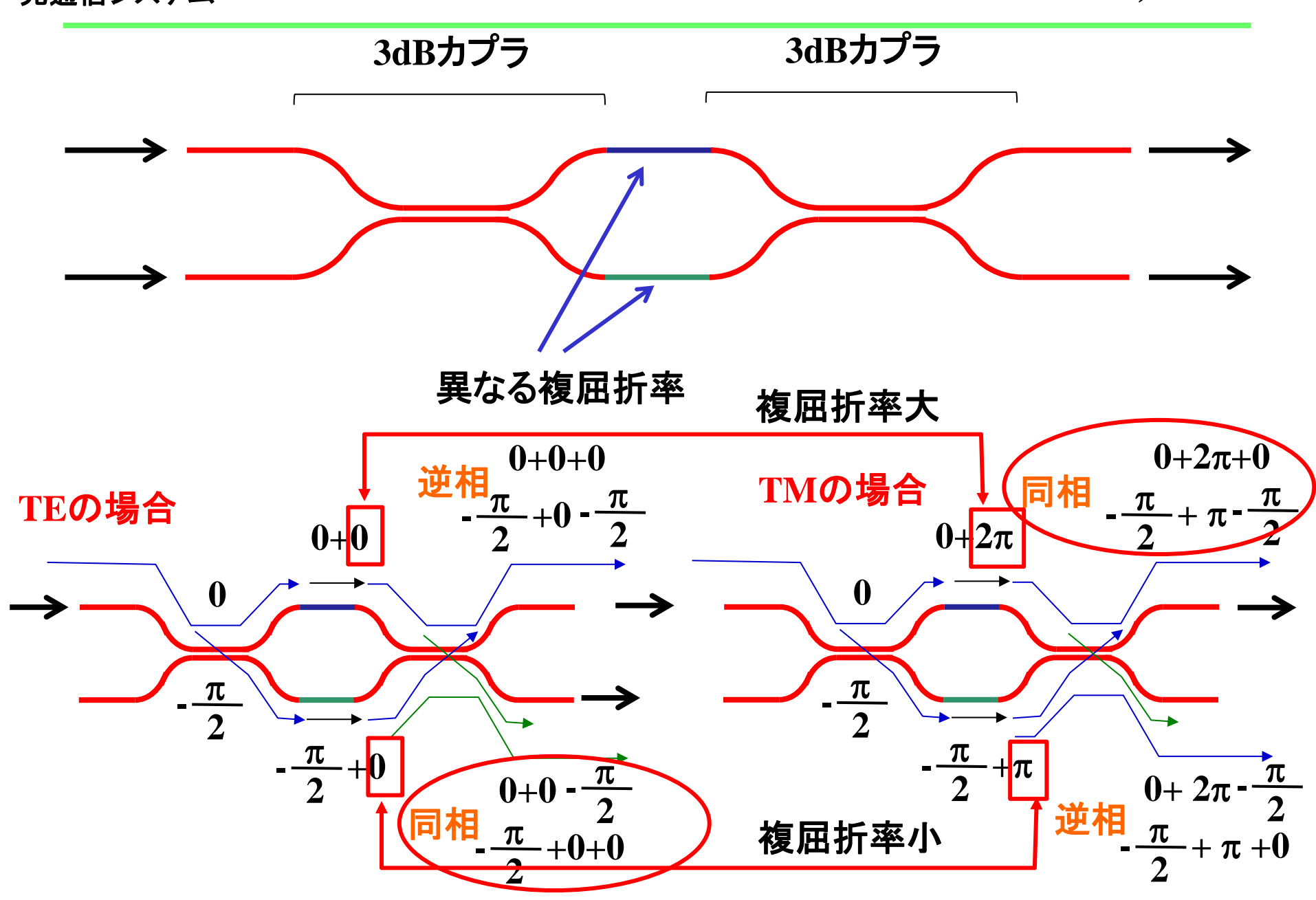


特徴

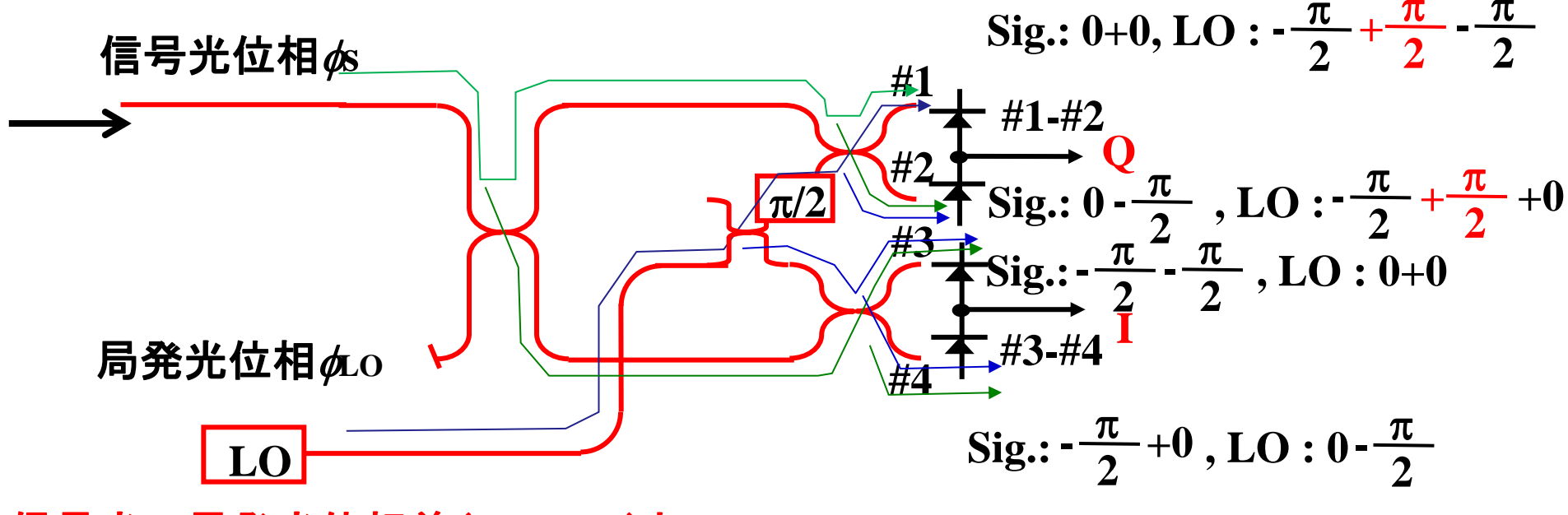
- LO(局部発振光)の位相を受信光に厳密に合わせなくても位相の推定が可能
 - 高速DSPの発展が寄与・コヒーレント再興の大きな原動力
- LOの発振線幅は受信IFのトラッキングのために狭線幅が必須

2013年度 光通信システム

導波路MZI型偏波ビームスプリッタ(PBS)



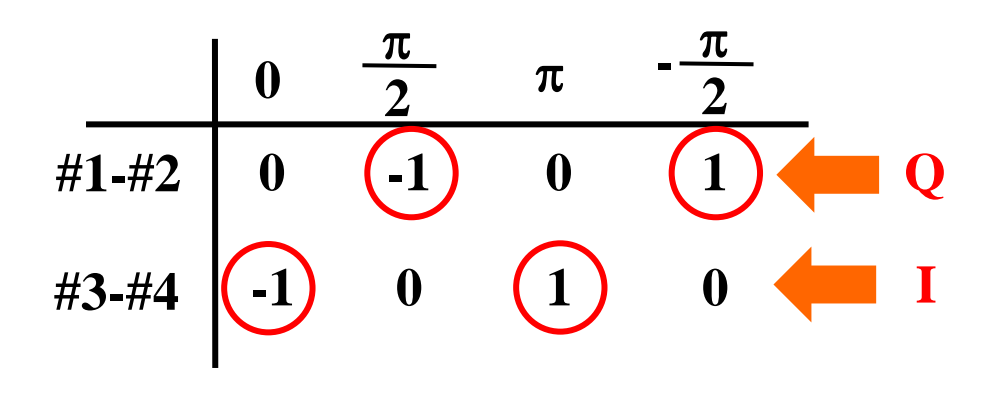
90度ハイブリッドによる位相・振幅の取得



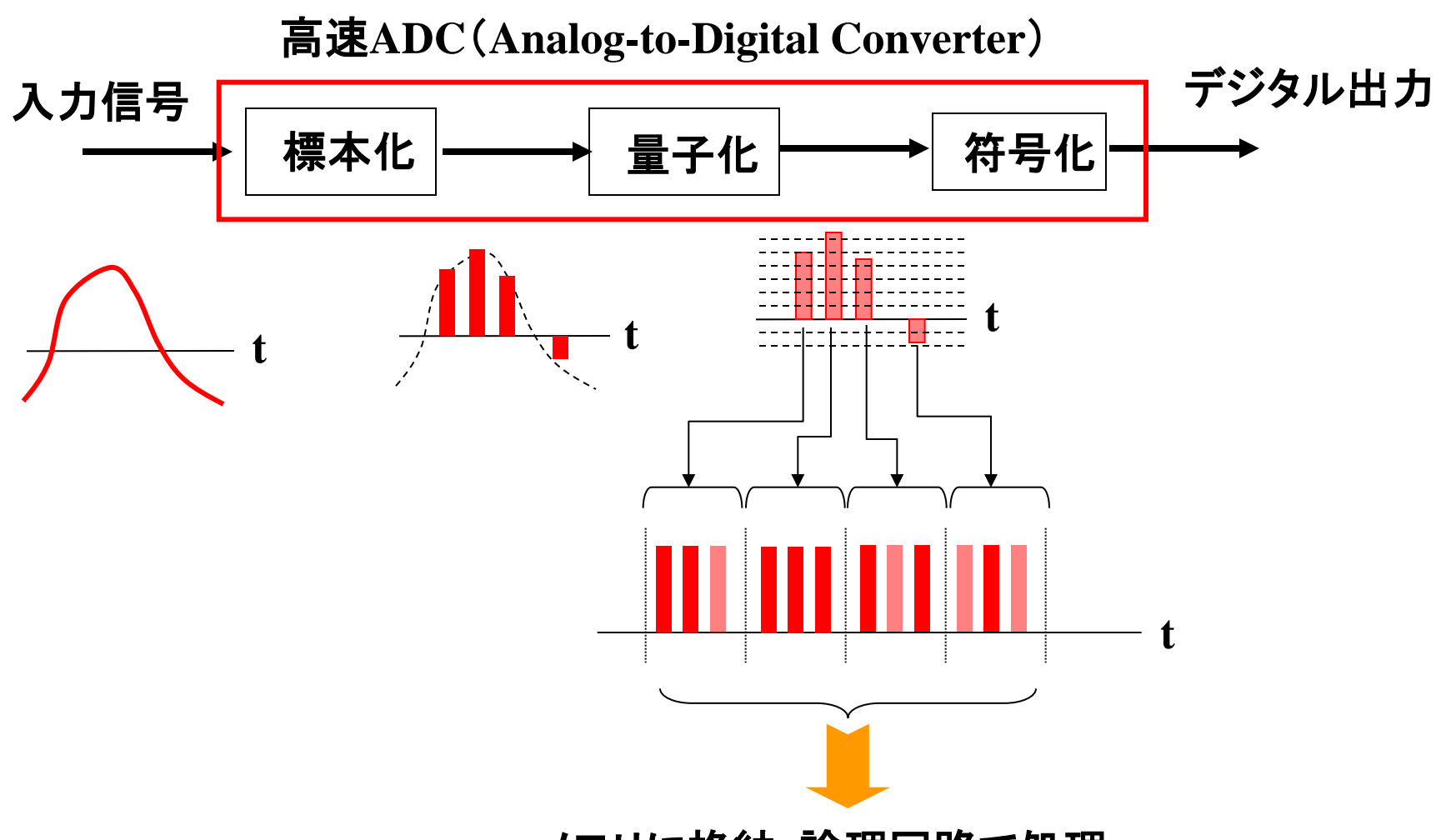
信号光一局発光位相差(かー丸の)と

4出力

	0	$\frac{\pi}{2}$	π	$-\frac{\pi}{2}$
#1	0.5	0	0.5	1
#2	0.5	1	0.5	0
#3	0	0.5	1	0.5
#4	1	0.5	0	0.5



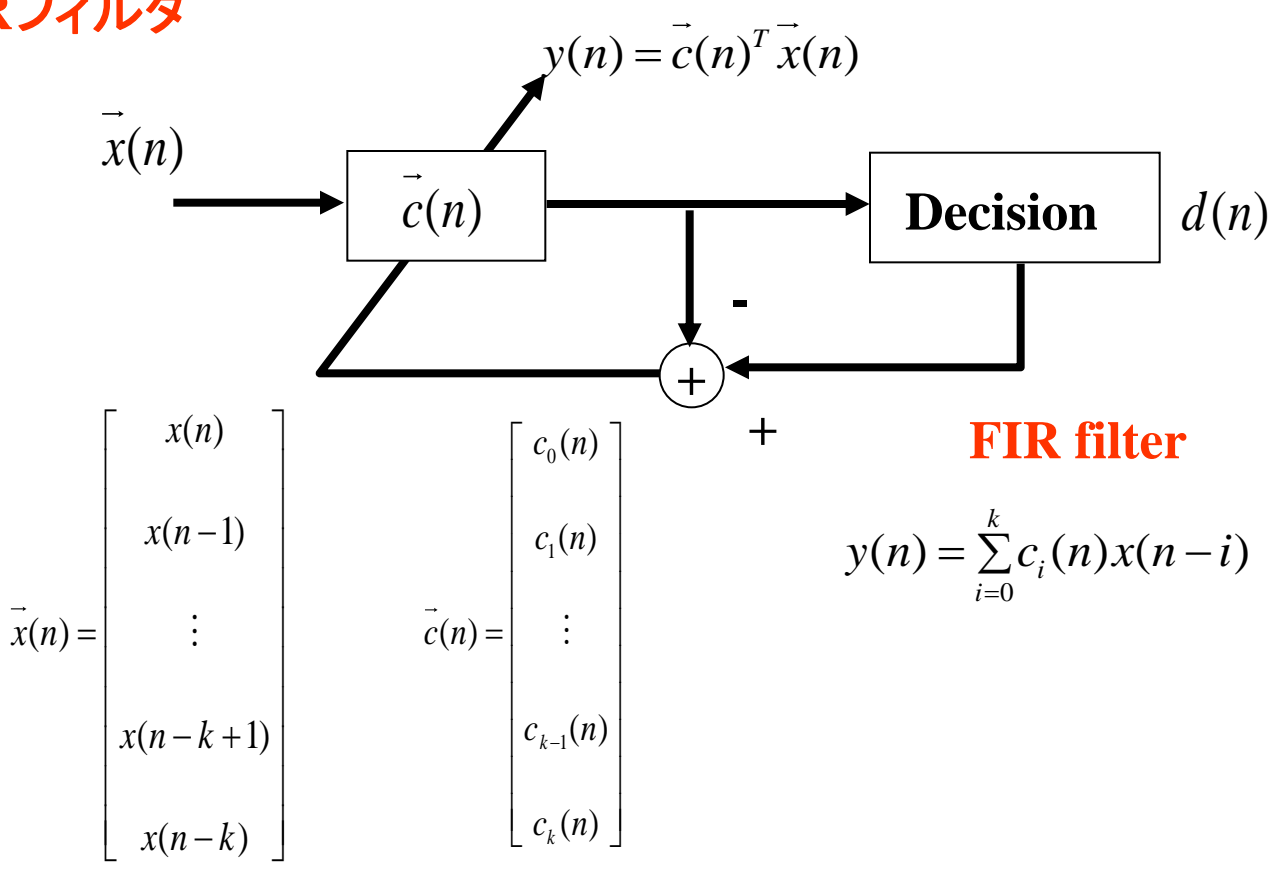
デジタル・サンプリング処理



メモリに格納・論理回路で処理

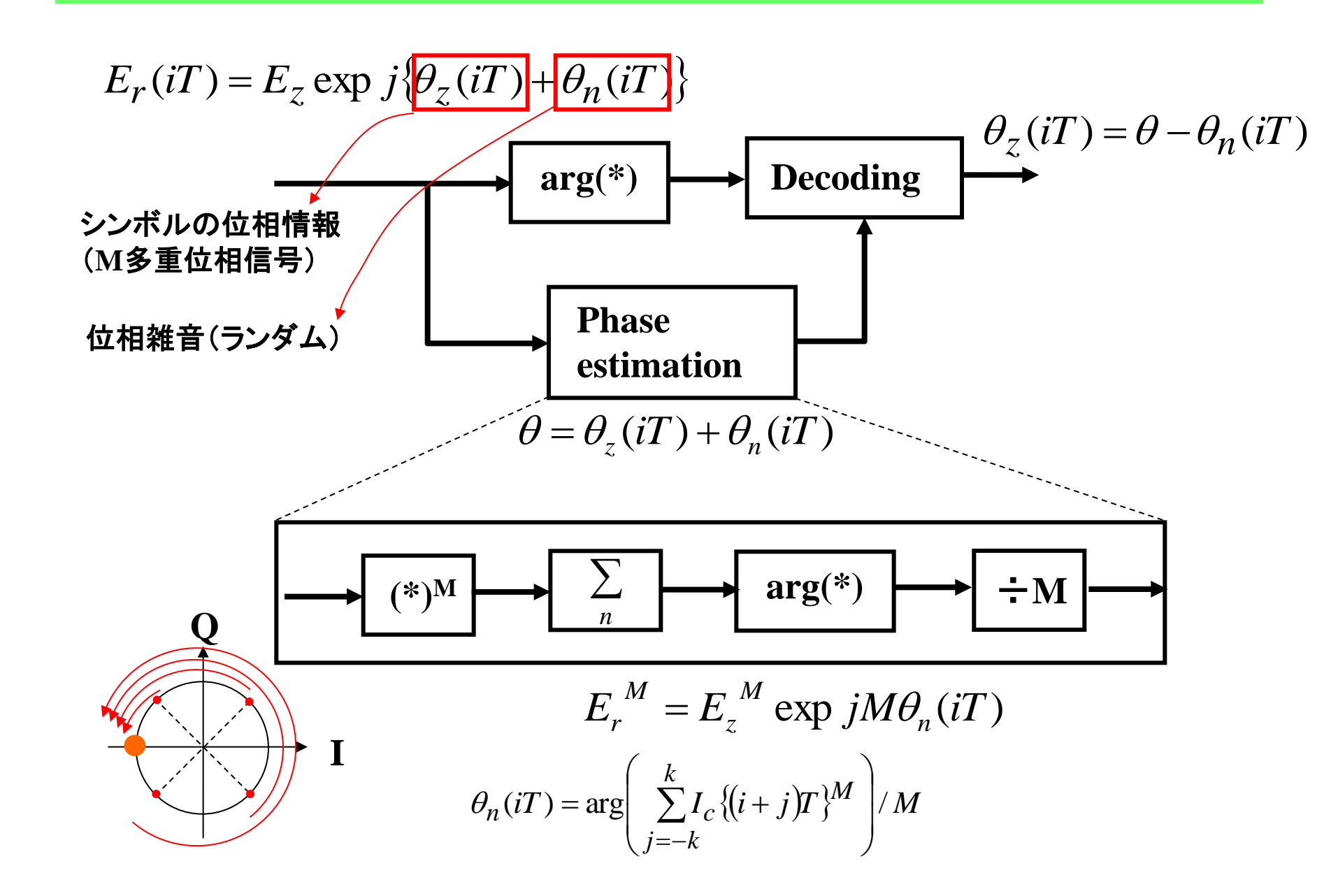
利得等化回路





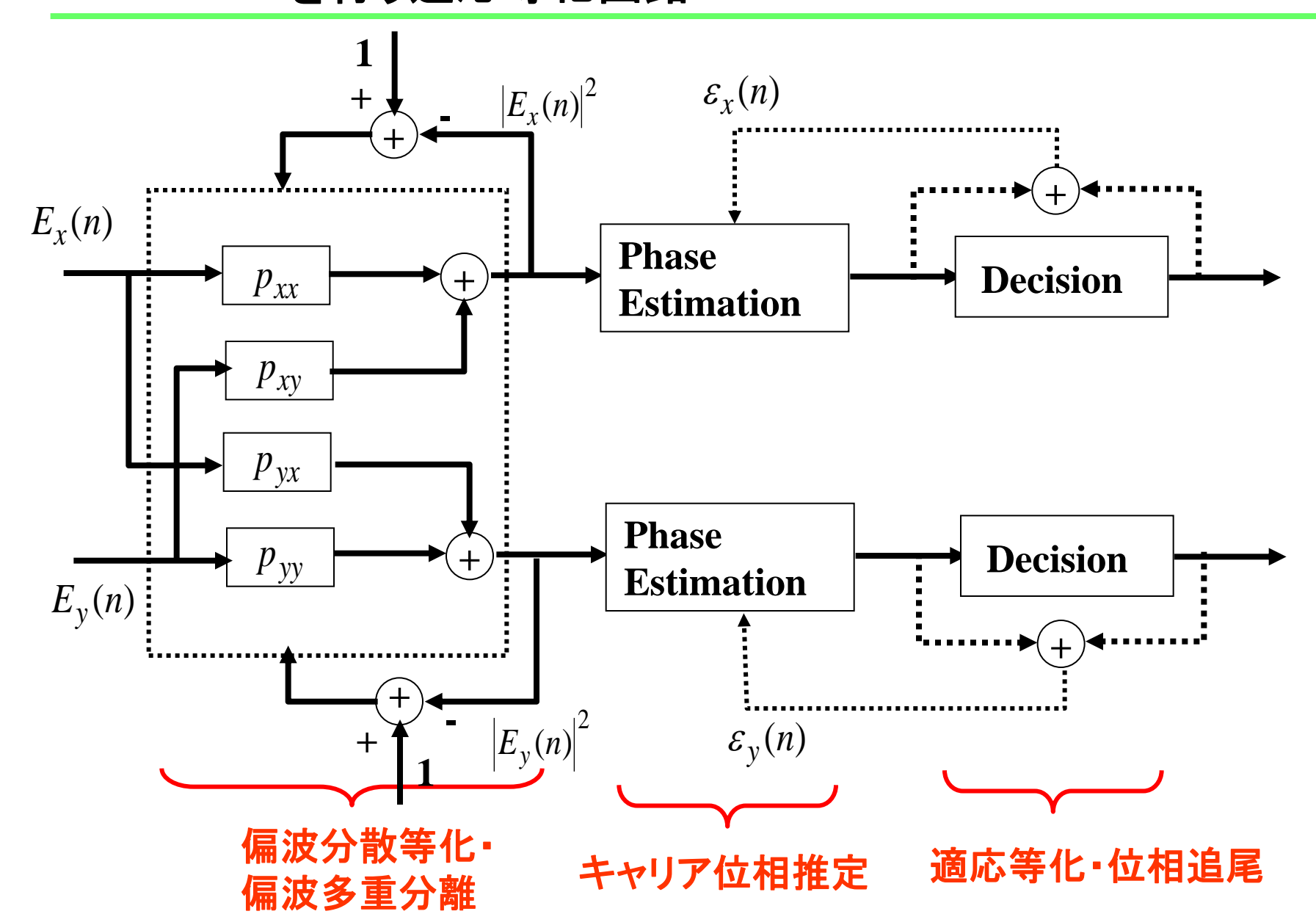
$$\begin{cases} \vec{c}(n+1) = \vec{c}(n) + \mu e(n)\vec{x}(n) \\ e(n) = d(n) - \vec{c}(n)^T \vec{x}(n) \end{cases}$$

位相推定



2013年度 光通信システム

偏波多重分離・偏波分散等化・キャリア位相追尾 を行う適応等化回路



デジタルコヒーレント受信器用リアルタイムLSI

Kim Roberts (Nortel), COIN2008, C-15-PM1-1-3.

Rule: 90nm CMOS

Format: 40Gbps PDM-DQPSK

of Gates: 20M

Architecture: 4×20 Gs/s 6bit ADC

Power consumption: 21W

Dispersion tolerance: $\pm 80,000$ ps/nm

PMD tolerance: 25ps

コヒーレント光伝送における LDへの要求

Recent Research Trend of Optical Communication Systems

For realization of large capacity & long haul WDM optical transmission



Significant distortion by Chromatic Dispersion and PMD



Trends to Narrow Signal Bandwidth

- Multi-level Modulation Format DQPSK, QAM,
- Multi-Carrier ModulationO-OFDM



High Sensitive Receiver Necessary



- Optical Coherent Detection
- Tunable LO desirable for reducing # devices, backup

Narrow spectral linewidth & freq. stability necessary

2013年度 光通信システム Significance of Narrow Spectral Linewidth

M. Seimetz, OFC2008, OTuM2 (2008).

Linewidth requirement @ 40Gbps

- QPSK: 10MHz
- 8PSK: 1.6MHz
- 16PSK: 240kHz
- Star 16QAM: 1.6MHz
- Square 16QAM: 120kHz
- Square 64QAM: 1.2kHz

2013年度 光通信システム

Reports of Semiconductor Lasers with Narrow Spectral Linewidth

Schemes		Mechanism	Features Red : Pros. , Blue : Cons.	Δν
	Strained MQW DFB CPM DFR	α parameter \ spatial hole burning \	no mode hop	3.6kHz
	MQW DBR	α parameter \	small spatial hole burning → Δv mode hop	40kHz
	External Cavity DFB	Q /	mode instability by phase mismatch	900kHz
Elec./Opt. Control	Electrical Feedback	Freq. noise detect → Bias current control	High sensitivity Narrower than Ouantum noise	250kHz
	Optical Feedback	Q /	FP resonator : wide bandwidth	10kHz
	Elec./Opt. Feedback	Opt. + Elec. feedback	complicated	7Hz

Schawlow-Towns Equation (with chirping)

$$\Delta v = \frac{v_g^2 \cdot h \, v \cdot n_{sp} \cdot \alpha_{th} \cdot (\alpha_{loss} + \alpha_{th})}{8\pi P_0} (1 + \alpha^2)$$

 v_g : group velocity

 h_{V} : photon energy

 n_{sp} : spontaneous emission rate

 α_{th} : threshold gain

 α_{loss} : optical loss

 α : linewidth enhancement factor (α parameter)

Spectrum Narrowing Schemes (1)

Reducing α -parameter (lowering $1+\alpha^2$)

$$\alpha = -\frac{4\pi}{\lambda} \frac{\partial n}{\partial N}$$

$$\begin{cases} n : \text{refractive index} \\ N : \text{carrier density} \\ g : \text{optical gain} \end{cases}$$

Ref. M. Ishida, N, Hatori, T. Akiyama, K. Otsubo, Y. Nakata, H. Ebe, M. Sugawara, and Y. Arakawa, Appl. Phys. Lett., vol.85, pp.4145 (2004).

OFDM

マルチキャリア伝送(OFDM)へ?

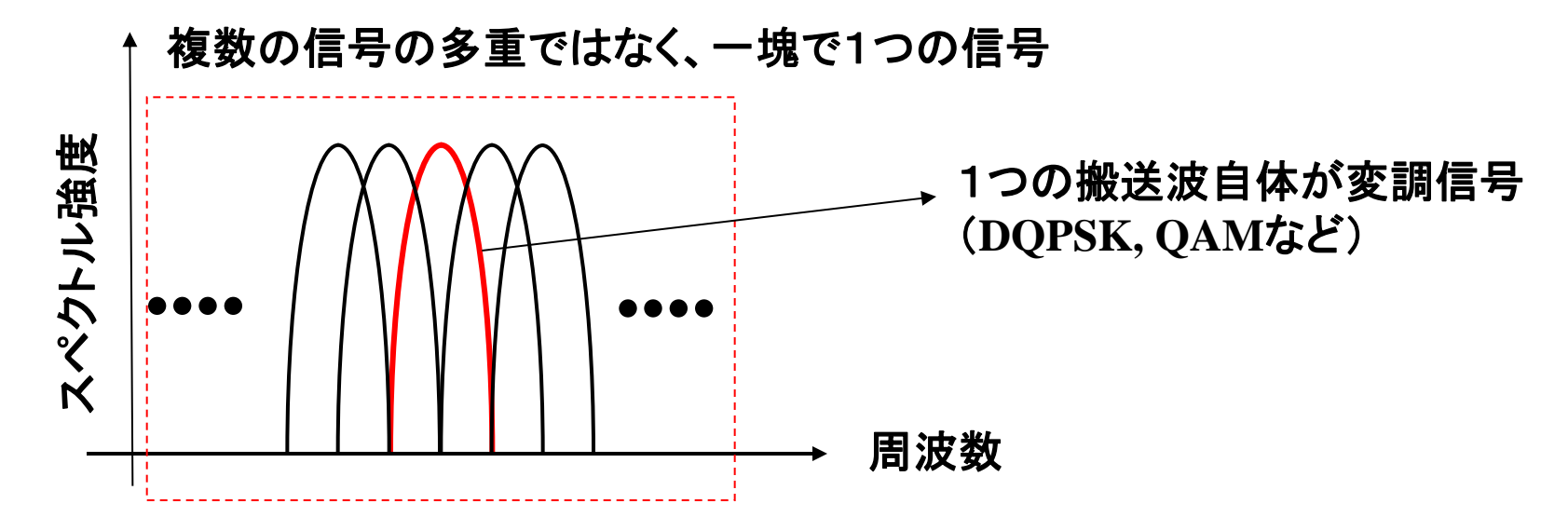
OFDM: Orthogonal Frequency Division Multiplexing 複数の搬送波(キャリア)を用いて1つの信号を伝送する手法

特徴

- 高スペクトル利用効率 → 限られた帯域を用いて高速化・伝送容量の増大
- 1搬送波の帯域が狭く、分散の影響抑制可能
- 伝送路の品質に合わせて適応的に対応可能(雑音の多い周波数帯を抑制)

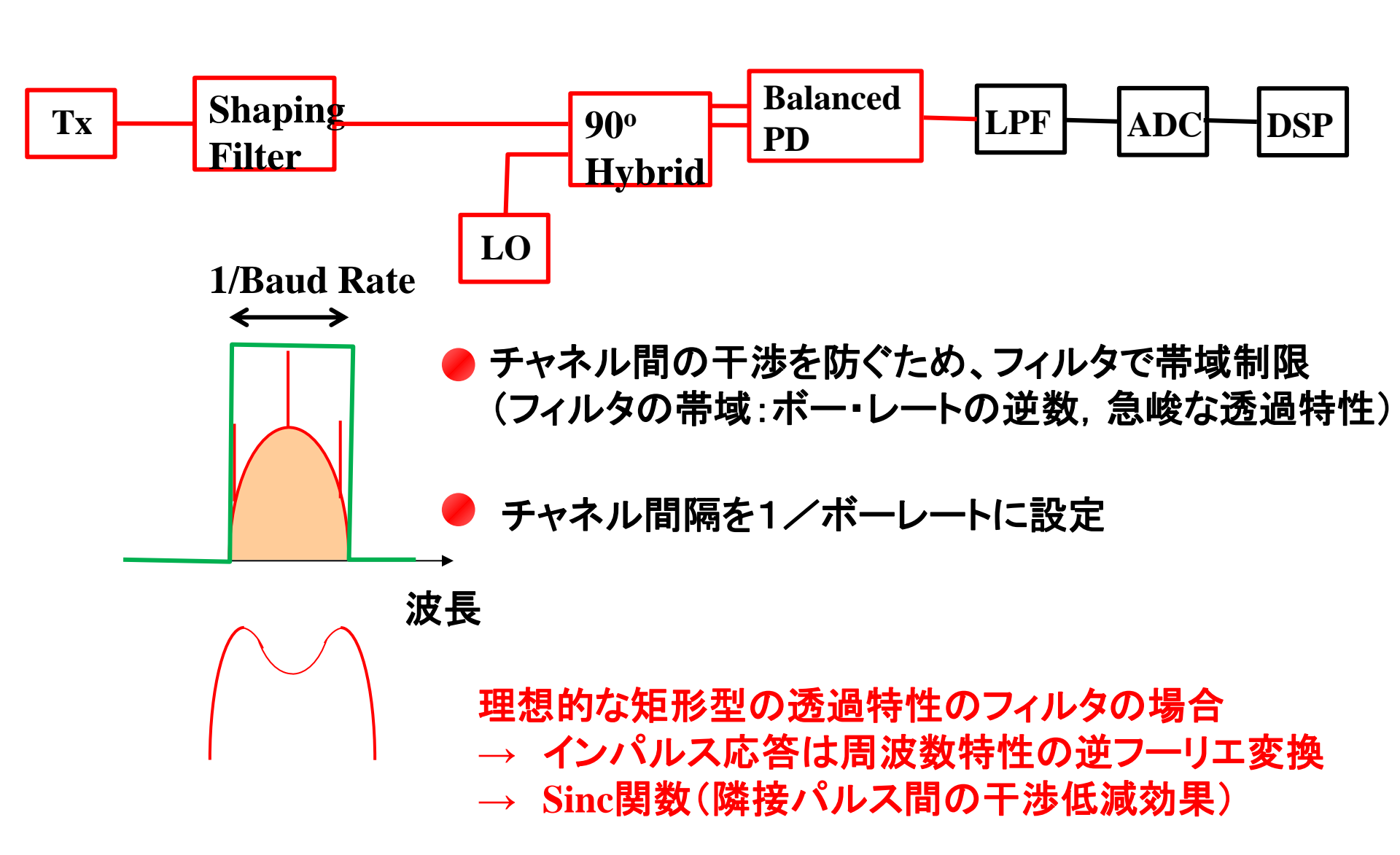
適用例

無線伝送(IEEE802.11a, g, n, WiMAX), 有線(ADSL), デジタル放送(地上デジタル)



(参考)周波数利用効率の向上の別手段 (ナイキストWDM)

G. Bosco, A. Carena, V. Curri, P. Poggiolini, E. Torrengo, and F. Forghieri, ECOC2010, Tu.3.A.4 (2010).

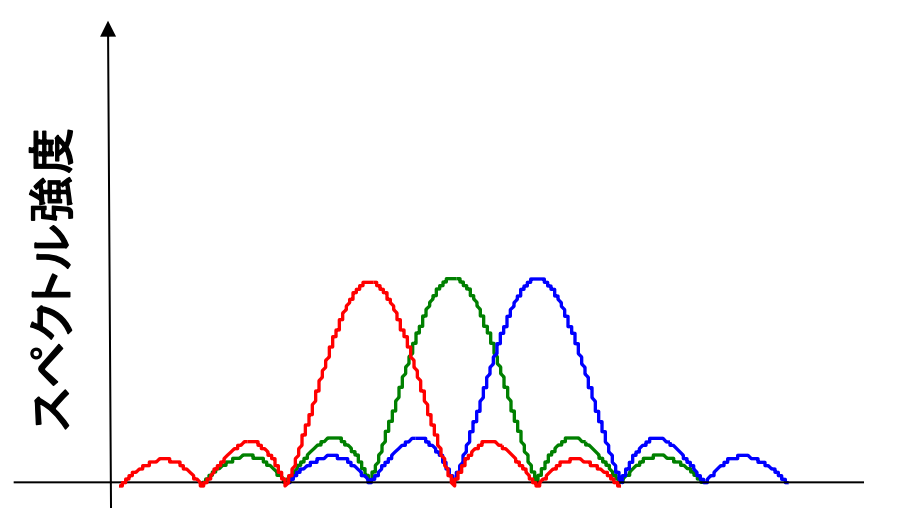


OFDMの高スペクトル利用効率のポイント

矩形波のフーリエスペクトル

$$F(\omega) = rac{A0}{f0} rac{\sin(\pi rac{f}{f0})}{\pi rac{f}{f0}}$$
 $f = nf_0 \quad (n$ は整数)
で $F(\omega) = 0$ となる。

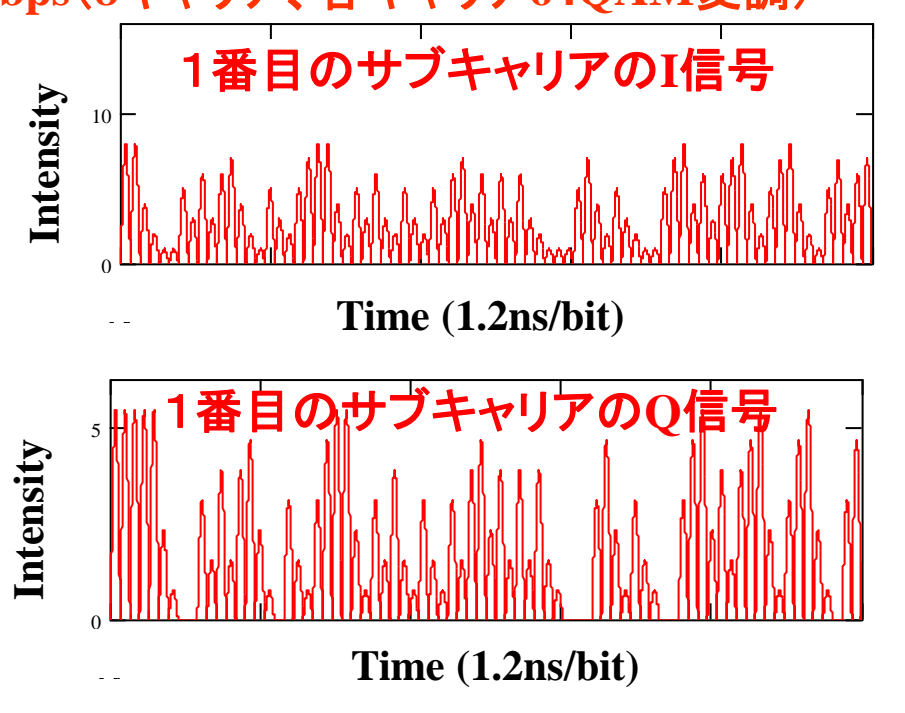
 f_0 間隔で搬送波を配置すると、直交関係となり 各搬送波との相関をとることにより分離可能

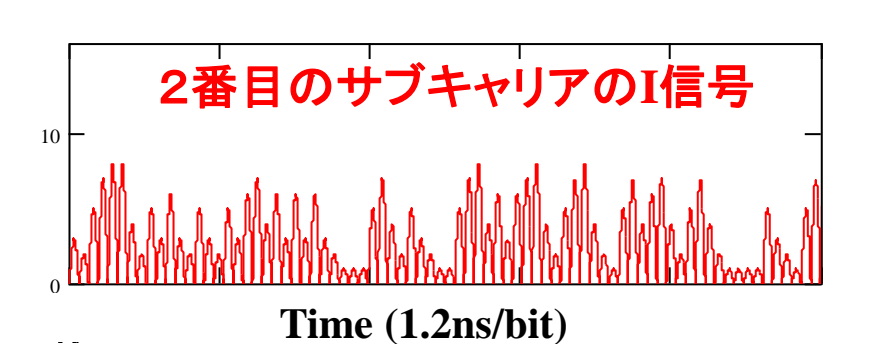


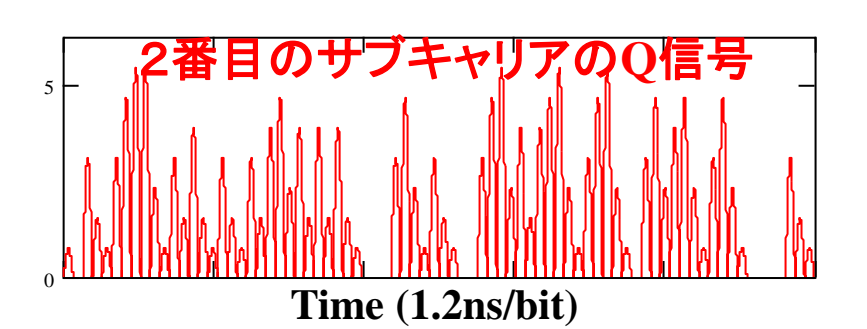
周波数

OFDM信号波形とスペクトル(1)

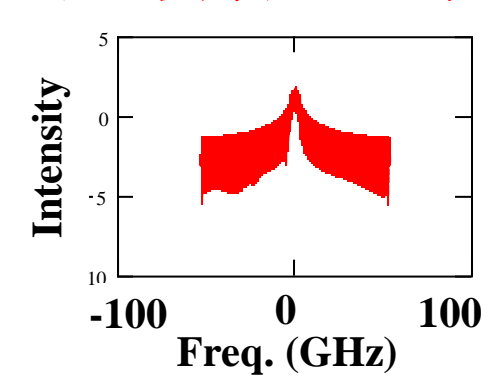
40Gbps(8キャリア、各キャリア64QAM変調)

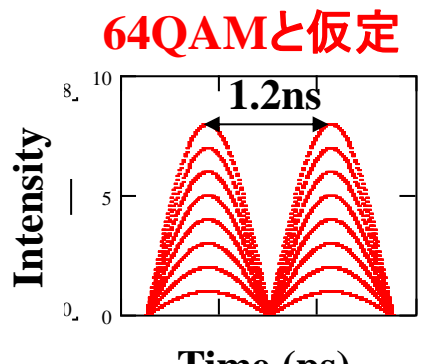


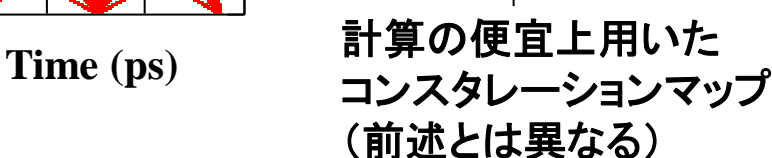




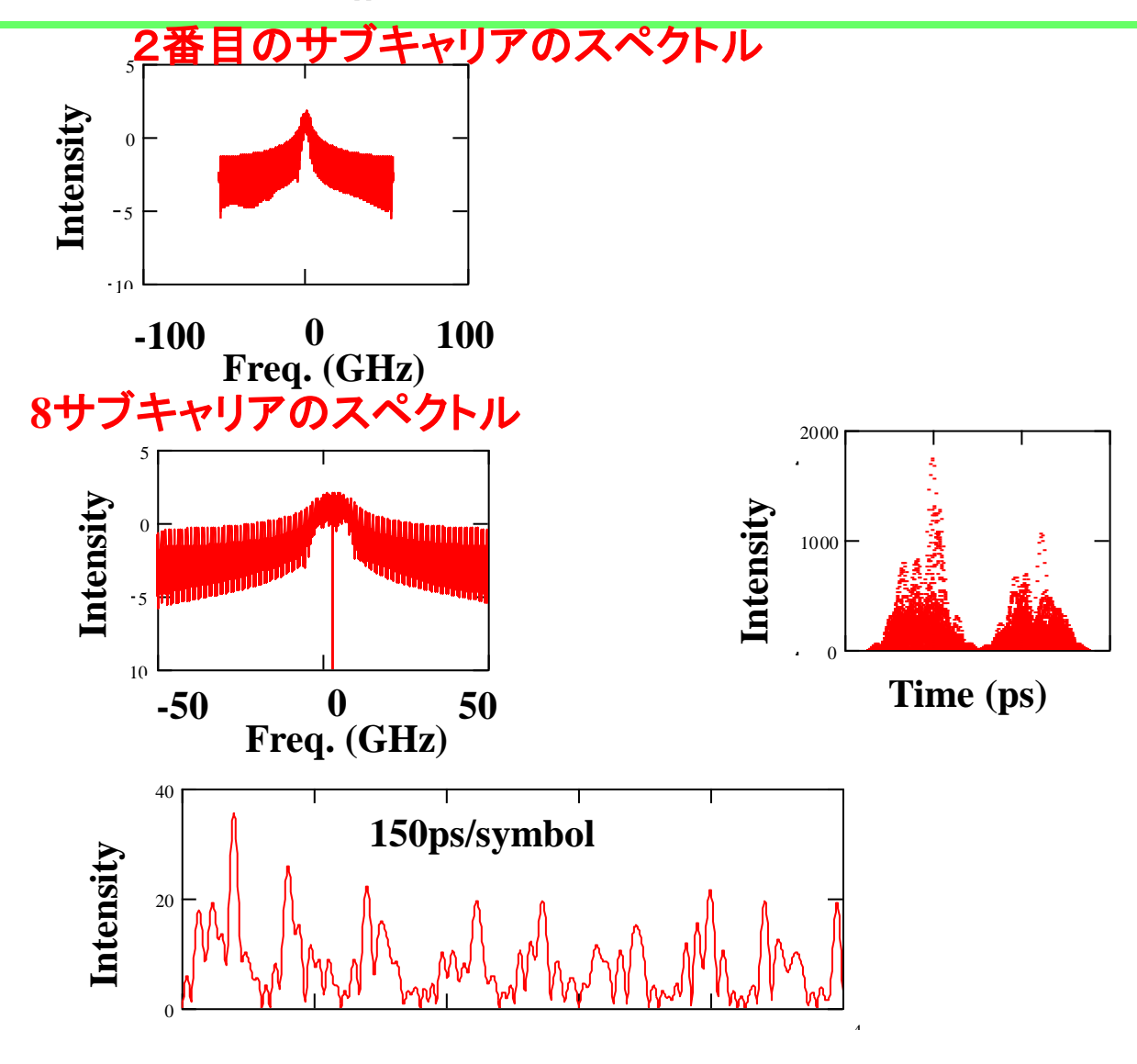
1番目のサブキャリアのスペクトル



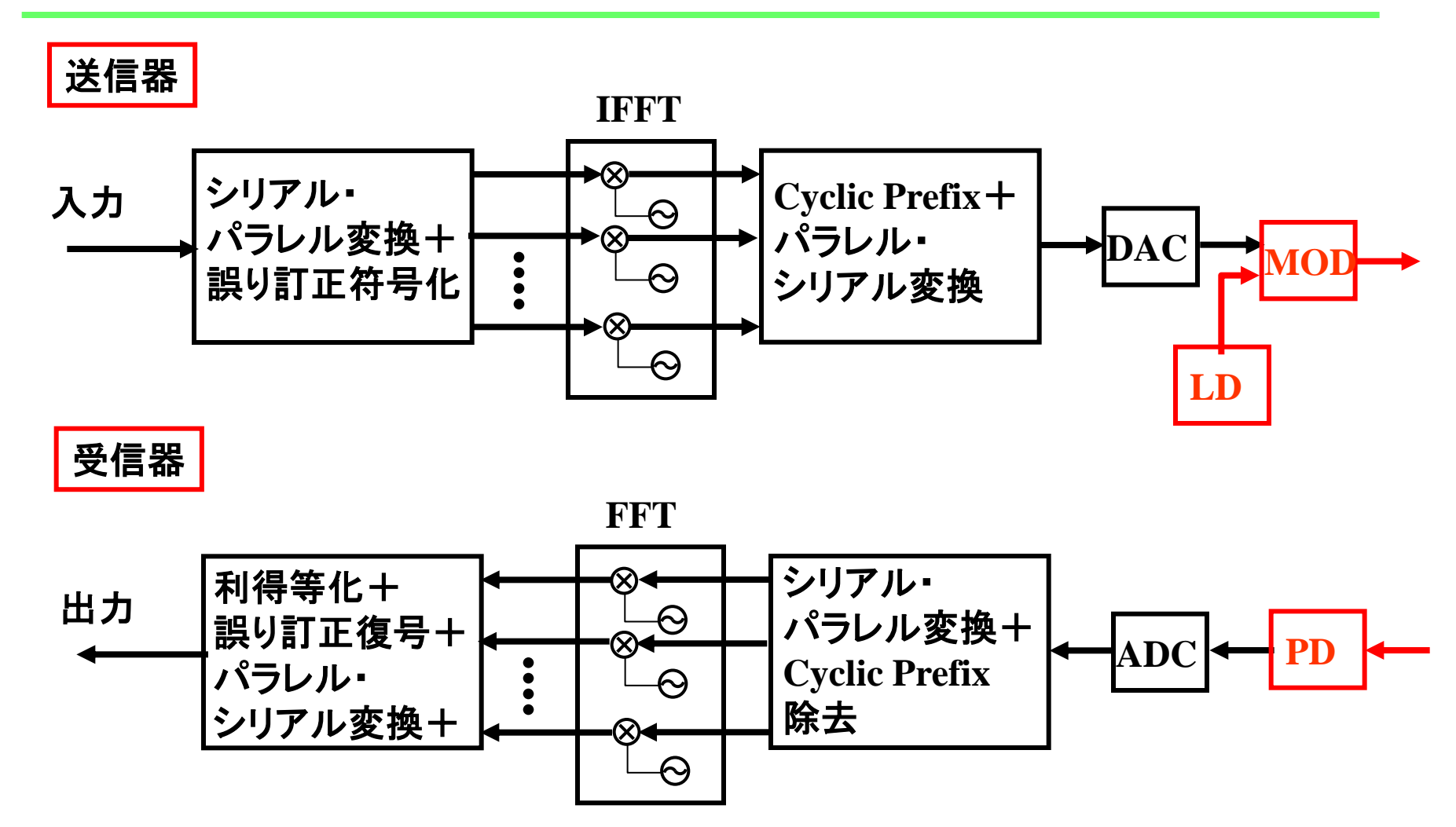




OFDM信号波形とスペクトル(2)



OFDM伝送の送受信系



● 光デバイスへの要求条件:高い線形性(平均パワーの数倍のピークパワーまで)

OFDMの課題

Peak to Average Power Ratio (PAPR)が大きい

(例)モバイルWiMAXの仕様では振幅のダイナミックレンジは 振幅平均値の4~5倍必要



高い線形性・高い出力値が必須 ファイバ非線形歪みの影響

位相雑音に敏感



送受信器・LOへの位相安定性の要求

周波数オフセットに敏感



モバイル用途で重要(ドップラーシフトの影響)

Kim Roberts (Nortel), COIN2008, C-15-PM1-1-3.

100Gbps OFDM

2 × subcarriers 20GHz apart

50GHz ch space WDM: 9Tbps in C-band

1000km reach

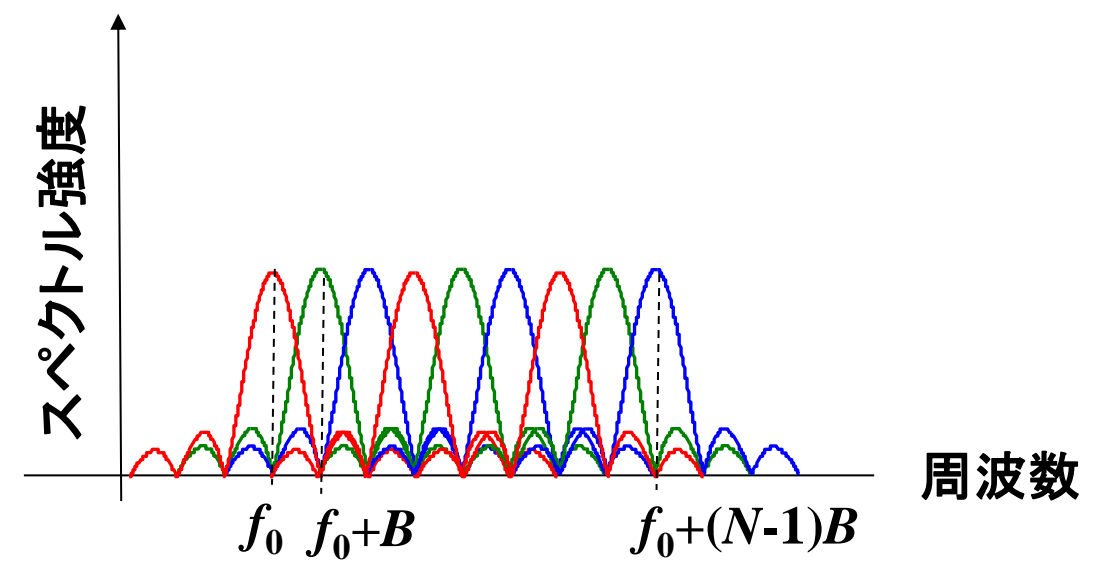
Dispersion tolerance: $\pm 50,000$ ps/nm

PMD tolerance: 20ps

12 WSS ROADMs

PLCによるOFDM信号のチャネル分離(1)

T. Takiguchi, T. Kitoh, A. Mori, M. Oguma, and H. Takahashi, ECOC2010, PD1.4.



$$S(t) = \sum_{n=0}^{N-1} d_n \cdot e^{j2\pi(f_0 + nB)t}$$

$$\begin{bmatrix} d_n : \mathbf{n番目のチャネル \cdot データ} \\ n : \mathbf{サブチャネル番号(}n=0 \sim N-1) \end{bmatrix}$$

 $\begin{array}{c|c} N :$ サブチャネル数 $f_0 :$ 0番目のチャネルのキャリア周波数

: Baud rate

PLCによるOFDM信号のチャネル分離(2)

dnの抽出

$$S(t) = \sum_{n=0}^{N-1} d_n \cdot e^{j2\pi(f_0 + nB)t}$$

$$S(t) \cdot e^{-j2\pi f_0 t} = \sum_{n=0}^{N-1} d_n \cdot e^{j2\pi Bnt}$$

$$= \sum_{n=0}^{N-1} d_n \cdot e^{j2\pi \frac{kn}{N}}$$

$$= \sum_{n=0}^{N-1} d_n \cdot e^{j2\pi \frac{kn}{N}}$$

$$= \frac{1}{N} \sum_{k=0}^{N-1} S(k \cdot \Delta t) e^{-j2\pi f_0 k \cdot \Delta t} \cdot e^{-j\frac{2\pi}{N}kn}$$

$$= \frac{1}{N} \sum_{k=0}^{N-1} S'(k \cdot \Delta t) e^{-j\frac{2\pi}{N}kn}$$

$$= \frac{1}{N} \sum_{k=0}^{N-1} S'(k \cdot \Delta t) e^{-j\frac{2\pi}{N}kn}$$

$$X_n = \frac{1}{N} \sum_{k=0}^{N-1} Y_k \cdot \Delta t$$

入力信号の分割・遅延

$$S'(k \cdot \Delta t) \equiv S(k \cdot \Delta t)e^{-j2\pi f_0 k \Delta t}$$

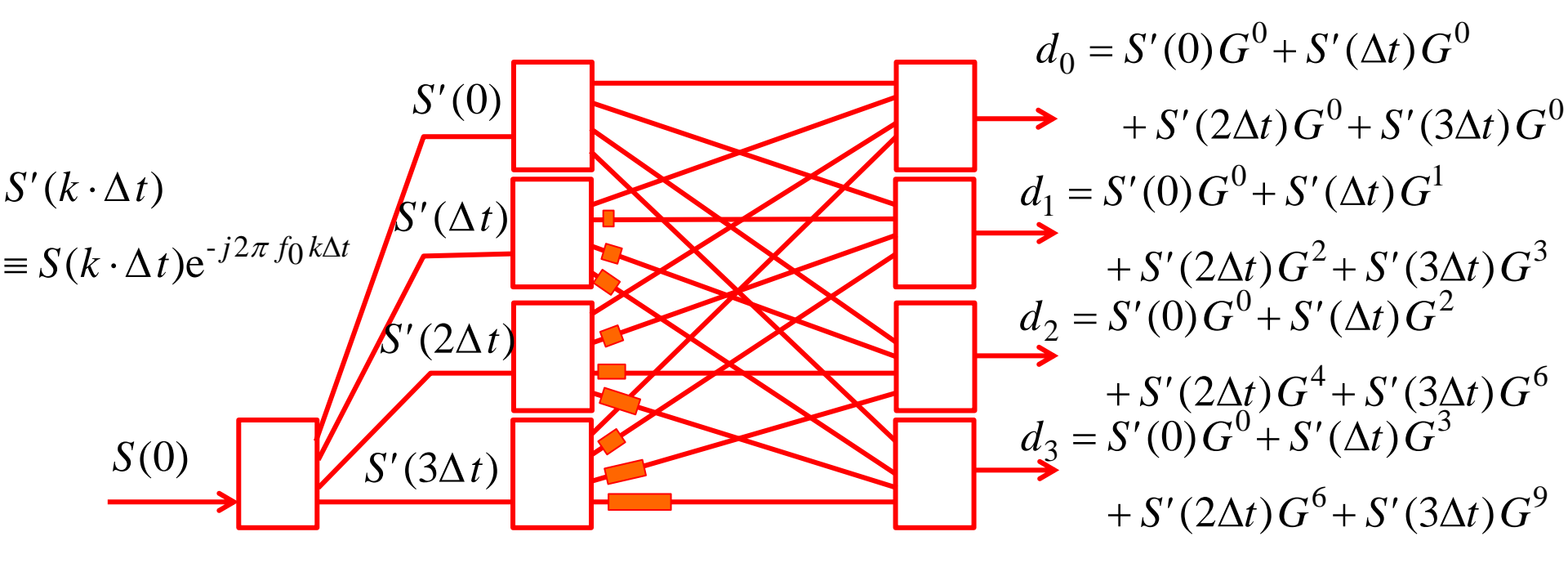
離散フーリエ変換

$$Y_k = \sum_{n=0}^{N-1} X_n \cdot e^{-j\frac{2\pi}{N}kn}$$

離散逆フーリエ変換

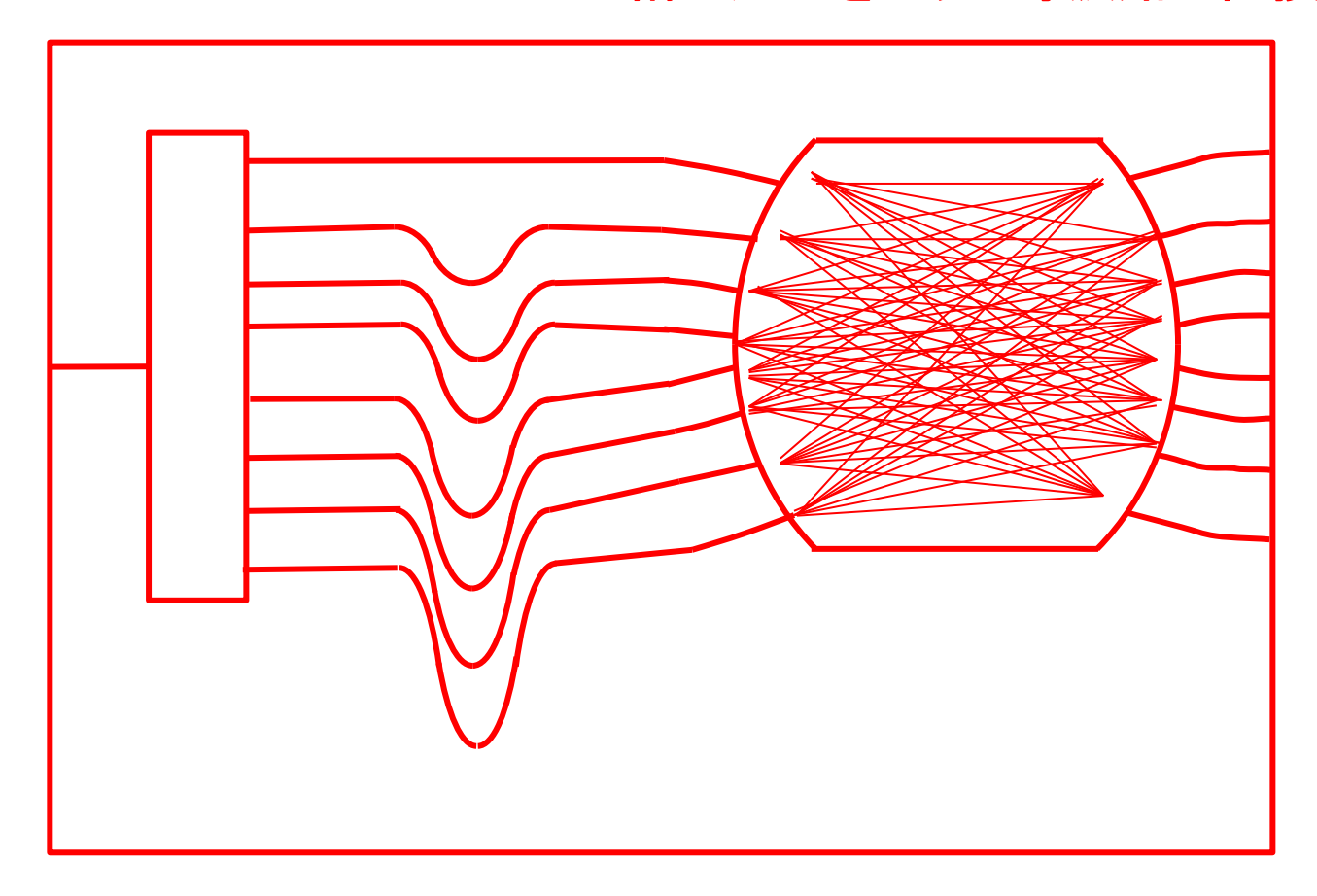
$$X_n = \frac{1}{N} \sum_{k=0}^{N-1} Y_k \cdot e^{j\frac{2\pi}{N}kn}$$

PLCによるOFDM信号のチャネル分離(3)



PLCによるOFDM信号のチャネル分離(4)

N×N編み込みをスラブ導波路に置換



- 導波路間隔・焦点距離を適切に設定するとDFTの位相回転子群を形成可
- 導波路交差による損失0
- 回路サイズ小

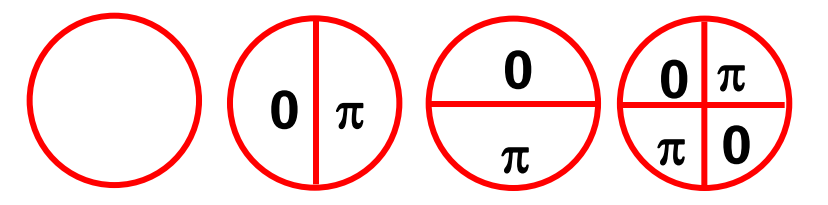
空間分割多重(マルチモード伝送)

伝送路の新時代:マルチ・モードファイバ

高次モードの生成・多重・分離方式

生成

① 位相板



LP01 LP11e LP11o LP21o

- ② 長周期ファイバ・グレーティング
- ③ 方向性結合器

多重•分離

- 自由空間系
- 方向性結合器
- 平面導波路
 - ※この段階の分離信号には、伝送途中での モード変換成分が線形に混合
 - → 分離・再生が必要
 - → Multiple-Input/Multiple-Output (MIMO) 行列の特異値分解演算を利用

モード多重の励振(1)

A. Li, A. Al Amin, X. Chen, and W. Shieh, OFC/NFOEC2011, PDPB8 (2011).

グレーティングも ファイバに押した 変換	·11		

モード多重の励振(4-1)

N. Hanzawa, K. Saitoh, T. Sakamoto, T. Matsui, S. Tomita, and M. Koshiba, OFC/NFOEC2011, OWA4 (2011).

LPFBGによるLP01→LP11変換 ファイバカプラによるモード分離

モード多重の励振(4-2)

N. Hanzawa, K. Saitoh, T. Sakamoto, T. Matsui, S. Tomita, and M. Koshiba, OFC/NFOEC2011, OWA4 (2011).

CSF(Cut-off Shifted Fiber)上の伝送・モード多重/分離



今後必要となりそうな光ファイバ関連技術 (大いに私見を交えて)

- マルチコア・ファイバのクロストーク向上(大容量・長距離用途)
 - データ・センタ内の大容量・省スペースへの展開があるか? (クロストークへの仕様は緩和できる)
- マルチコア・ファイバとSMFとの接続技術
 - 現在、以下の試みがなされている。

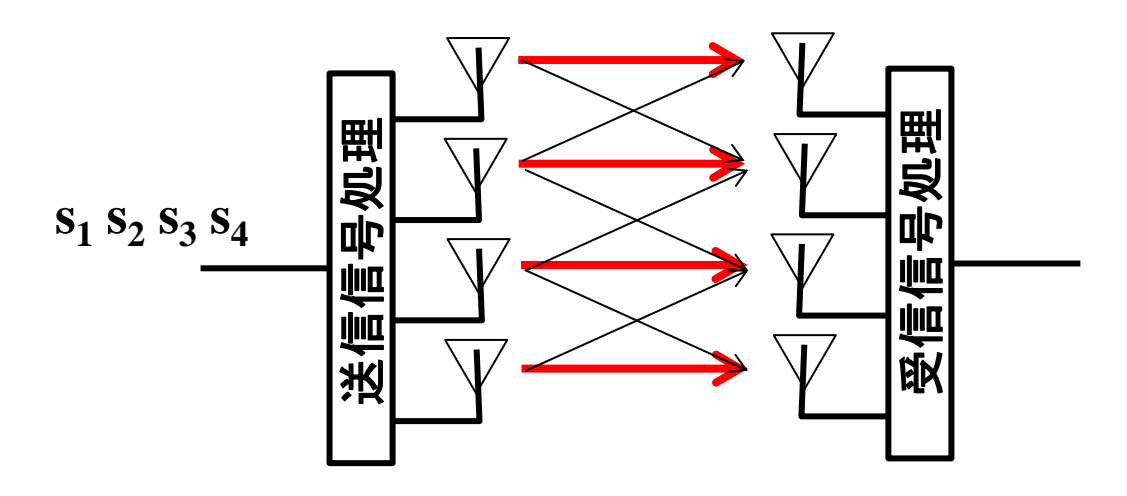
 Fiber-based Tapered Multicore Coupler

 レンズ光学系
 - ファイバ・コネクタあるいはスターカプラのようなサイズで 実現できるか?
- 高次モード生成・多重・分離の簡易化・伝送時の安定性維持 ホログラム(位相マスク)による高次モード生成 ラゲール・ガウスモード利用
- マルチコア/モード光増幅器

MIMO

無線通信におけるMIMO (Multiple-Input Multiple-Output)

MIMO: Multiple-Input Multiple-Outputとは



- 無線通信において複数の伝送路(マルチパス)を用いてたくさんの 情報を伝送する技術
- 標準化技術(IEEE802.11n)において用いられるようになった。

MIMOの役割(1)

シャノン限界(シャノンの通信路容量定理)

誤りなく伝送できる伝送容量の上限を与えるもの。

$$C = W \log_2 \left(1 + \frac{S}{N} \right)$$

C:伝送速度, W:周波数帯域幅, S:信号の平均電力, N:雑音の平均電力

$$\frac{C}{W} = \log_2\left(1 + \frac{S}{N}\right) \approx \log_2\left(\frac{S}{N}\right) \text{ if } \frac{S}{N} >> 1$$
 なので、

電力を大きくしても、それに見合った周波数利用効率の向上につながらない (非効率)。

(例) 周波数利用効率C/Wを10倍(2値符号での0.5bps/HzをDP-32QAM 符号で10倍)にするためには、S/Nを2¹⁰=1024倍に高めなければ ならない。

MIMOの役割(2)

マルチパスを用いると。。。

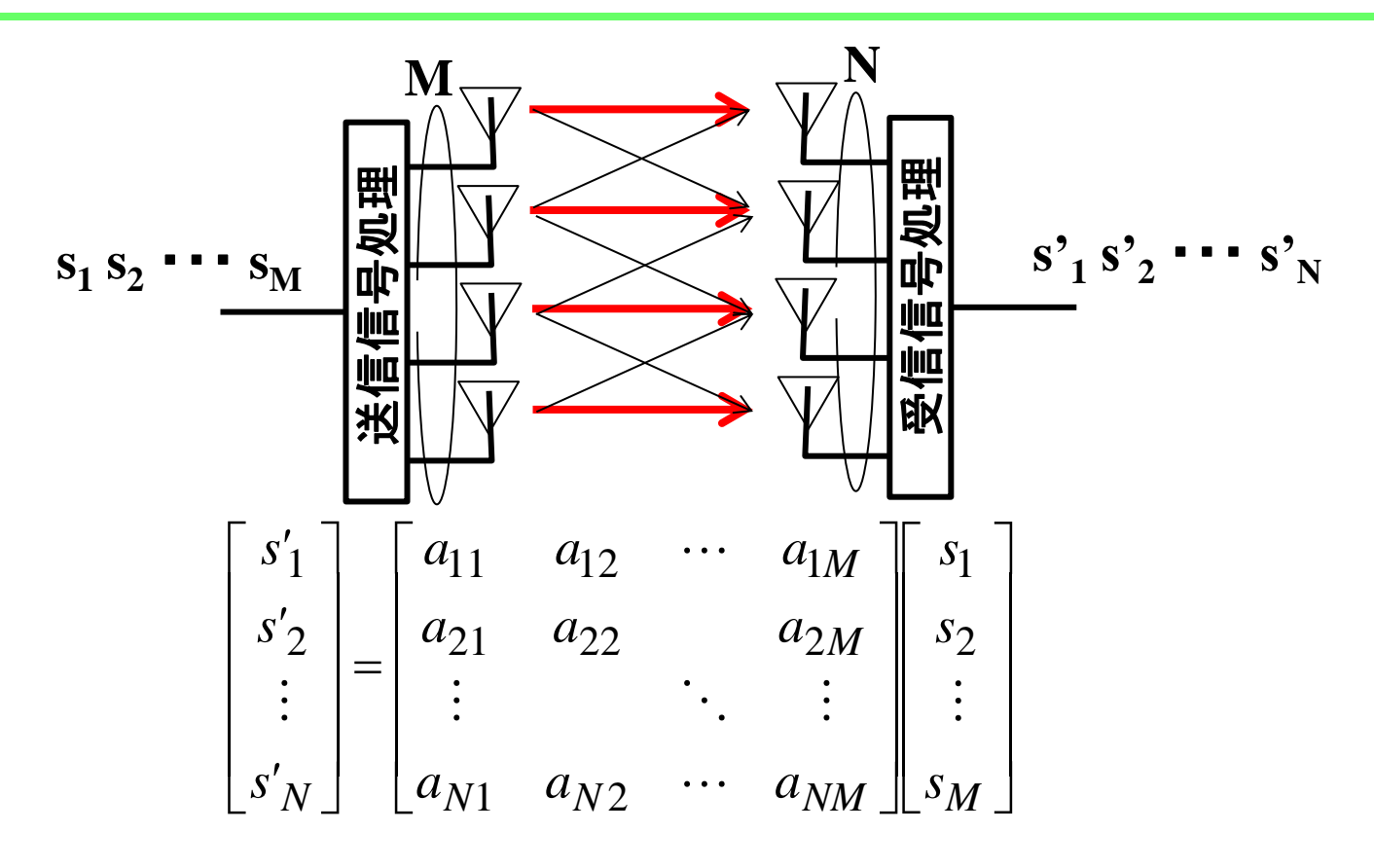
$$C = MW \log_2 \left(1 + \frac{S}{MN} \right)$$

M:マルチパス・チャネル数

効率よく周波数利用効率を向上できる。

(補足) その他、切れないリンクを実現する技術としても活用される。

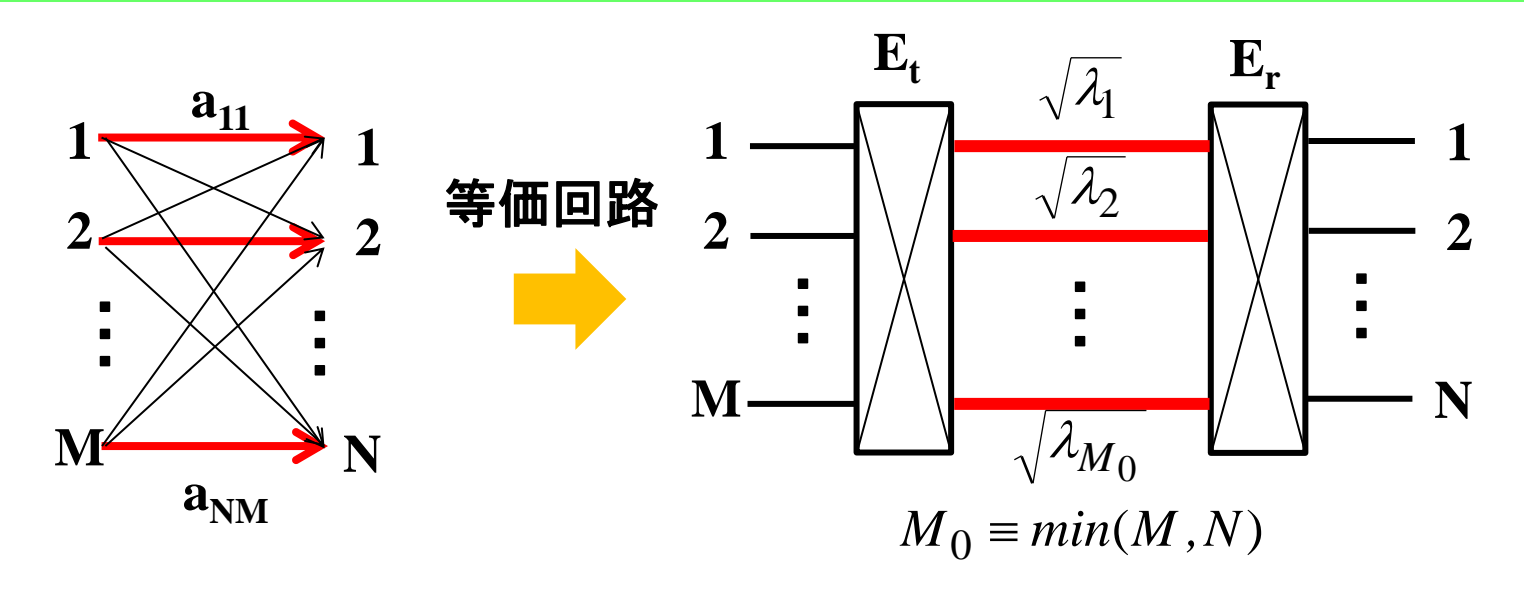
MIMOの原理



チャネル応答行列

$$A = \begin{bmatrix} a_{11} & a_{12} & \cdots & a_{1M} \\ a_{21} & a_{22} & & a_{2M} \\ \vdots & & \ddots & \vdots \\ a_{N1} & a_{N2} & \cdots & a_{NM} \end{bmatrix}$$
 (N×M行列)

MIMOチャネルの伝送行列表現(1)



行列の固有値・対角化を利用してAを変形する。

 $A^{H}A$: ($M \times M$)のエルミート行列

固有値: λ₁, λ₂, ..., λ_{M0}(A^HA, AA^Hに共通)

固有値λ_iに属する固有値ベクトル: e_{t,1} e_{t,2} ... e_{t,M0}

AA^H : (N×N)のエルミート行列

固有値: $\lambda_1, \lambda_2, ..., \lambda_{M0}(A^HA, AA^Hに共通)$

固有値λ_iに属する固有値ベクトル: e_{r.1} e_{r.2} ... e_{r.M0}

※ Hは複素共役転置

MIMOチャネルの伝送行列表現(2)

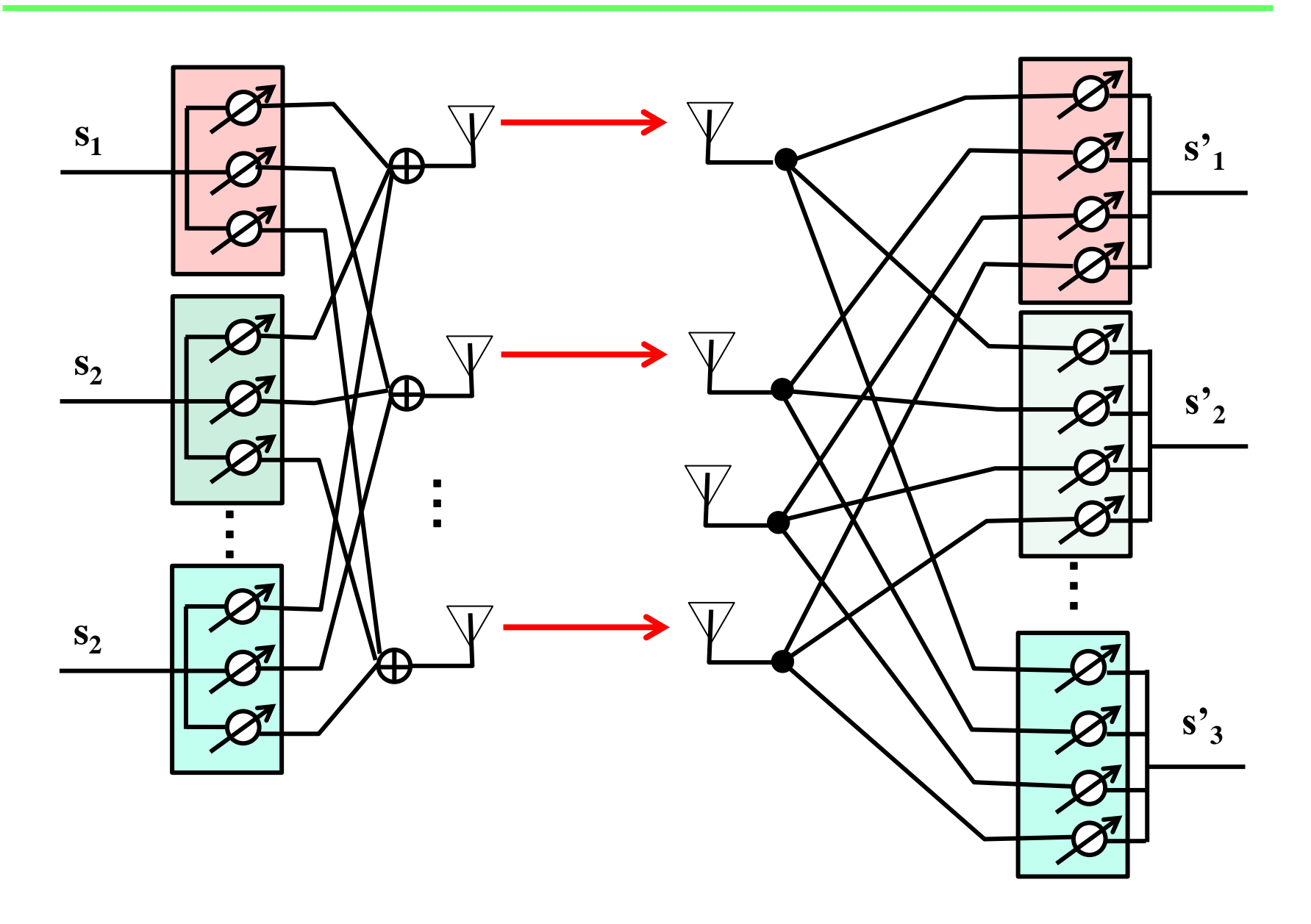
チャネル応答行列Aは以下で表される。

$$\mathbf{A} = \begin{bmatrix} \mathbf{e}_{r,1} & \mathbf{e}_{r,2} \cdots \mathbf{e}_{r,M0} \end{bmatrix} \begin{bmatrix} \sqrt{\lambda_1} & \mathbf{0} & \cdots & \mathbf{0} \\ \mathbf{0} & \sqrt{\lambda_2} & & \mathbf{0} \\ \vdots & & \ddots & \vdots \\ \mathbf{0} & \mathbf{0} & \cdots & \sqrt{\lambda_{M0}} \end{bmatrix} \begin{bmatrix} \mathbf{e}_{t,1} & \mathbf{e}_{t,2} \cdots \mathbf{e}_{t,M0} \end{bmatrix}^H$$

$$=E_r D E_t^H$$

- igoplus 実伝送路に合わせて、送信側のビームフォーミングネットワークを \mathbf{E}_t に、 受信系を \mathbf{E}_r \mathbf{H} とすると、 \mathbf{M}_0 個の信号が独立に利得 $\sqrt{\lambda_i}$ で干渉なく伝送可能
- 伝送チャネルの特性把握は、相関行列の固有値の把握と等価

固有モード伝送方式



モード多重の励振(2-2)

M. Salsi, C. Koebele, D. Sperti, P. Tran, P. Brindel, H. Mardoyan, S. Gigo, A. Boutin, F. Verluise, P. Sillard, M. Astruc, L. Provost, F. Cerou, and G. Charlet, OFC/NFOEC2011, PDPB9 (2011).

FMF(Few Mode Fiber)上伝送 (LP11a+LP11b)×偏波多重4モードの4×4 MIMO受信

MIMO活用によるモード分離

モード多重の励振(3-2)

R. Ryf, S. Randel, A.H. Gnauck, C. Bolle, R.-J. Essiambre, P.J. Winzer, D.W. Peckkam, A. McCurdy, And R. Lingle, Jr., OFC/NFOEC2011, PDPB10 (2011).

3MF(Three Mode Fiber)上の(LP01, LP11a, LP11b)×偏波多重6モード伝送

モード多重の励振(3-3)

R. Ryf, S. Randel, A.H. Gnauck, C. Bolle, R.-J. Essiambre, P.J. Winzer, D.W. Peckkam, A. McCurdy, And R. Lingle, Jr., OFC/NFOEC2011, PDPB10 (2011).

6×6 MIMO受信



